

粗粒材料の降伏曲面について

山口大学 工学部 正会員 三浦 哲彦
同 大学院 学生会員 ○山本 紀之
広島建設工業 神原 驍志

1.はじめに Roscoeらの応力～ひずみ理論は、通常圧力域での正規圧密粘土についての理論であるが、粒子破碎を十分生じるような圧力域では、粗粒材料の応力～ひずみ関係の予測にも用いられる¹⁾。しかし、この理論は、いくつかの点で実測値をよく近似しない。本報は、種々の応力経路に沿って三軸圧縮試験を行なった時の降伏特性と応力履歴との関係を調べ、その結果に基づいて、降伏曲面の形状について考察したものである。

2. 試料および実験方法 守部中郊外で採取したまさ土の中から、粒径74～1520μmのものを小量い出しして実験試料とした。均質係数は2.2、比重2.600である。供試体は直径10cm、高さ17cmで飽和密づめ($\epsilon_0 = 0.5 \sim 0.6$)とした。本報で用いる応力変数は、平均有効主応力 $p' = (\sigma'_1 + 2\sigma'_3)/3$ 、軸差応力 $\sigma_z = \sigma'_1 - \sigma'_3$ 、応力比 $\eta = \sigma_z/p'$ である。 p' は体積ひずみに、 σ_z はせん断ひずみに關する。成形した供試体は、 $p' = 40 \text{ kg/cm}^2$ まで等方圧密後所定の応力値まで除荷する(η 一定については、全て 1 kg/cm^2 まで除荷後、 p' 一定で、所定の応力経路上にせざる)。見かけせん断過程にはいるが、 η 一定では、 $\eta = 0.3, 0.6, 0.9, 1.2, \dots$ で、 $\sigma'_3 = -$ 一定では、 $\sigma'_3 = 15, 20, 25, 30, 35 \text{ kg/cm}^2$ また p' 一定では、 $p' = 20, 25, 30, 34, 38 \text{ kg/cm}^2$ の応力経路についてせん断した。

3. 実験結果 三軸圧縮試験($\sigma'_1 > \sigma'_3 = \sigma'_2$)結果より、次のような材料定数を得た。 $\alpha (= 0.43 C_c) = 0.0603$ 、 $\eta_c (= 0.43 C_s) = 0.0128$ 、 $P_g = 13.4 \text{ kg/cm}^2$ 、 $M = 1.47$ 、 $C_s = 1915 \text{ kg/cm}^2$ (C_c, C_s は圧縮指數、膨張指數であり、 P_g は圧密降伏応力、 M は破壊時の応力比 η の値、 η_c はせん断弹性定数で $\eta_c \sim \eta$ 曲線の初期接線勾配より求められる。)

p' ～ η 曲線、 η ～ ϵ 曲線の勾配が急に変わる点を降伏点と見ると、この点は必ずしも明確ではない。したがって、塑性ひずみが発生し始める点を降伏点と見ることにした。すなわち、せん断ひずみについて $\epsilon_p = \epsilon - \epsilon_0 = \epsilon - \{ \eta - \{ \eta_c / (3C_s) \} \} = 0$ 、体積ひずみについて $\eta_p = \eta - \eta_0 = \eta - \{ M \log(p') / (1 + 2\eta) \} = 0$ なる応力点を求めた。たゞし上付添字の p 、 η は弾性、塑性成分であることを示し、 ϵ_0 は圧密後間げ比、 ϵ 、 η は測定された全せん断ひずみ、すなび全体積ひずみである。Fig.1, Fig.2 に示す破線は、 p' ～ η 、 η ～ ϵ 関係から求めた降伏点を連れて描いた曲線である。

4. 考察 Fig.1, Fig.2 は、土の降伏特性が応力履歴に影響されることを示している。各応力経路の η_p/dp' を比較すると、 $(p'$ 一定) $>$ (η 一定) $>$ (η 一定) の順となる。降伏特性的違いは η_p/dp' の大きさの違いを反映しているようを見うけられる。すなわち、Fig.1 の p' ～ η 降伏特性では、応力経路の η_p/dp' が大きくなるほど降伏応力が上昇している。一方 Fig.2 の η ～ ϵ 降伏特性では、 η_p/ϵ_0 が小さくなることでくほどの降伏応力が上昇しているのが注目される。Roscoe～Burland の修正理論²⁾によると、降伏曲線は、その土が過去に受けた最大の応力値によって唯一に決定でき、過去の応力経路の影響は受けず、その形状は横円形である。一方、龍門らは p' ～ η 降伏曲線と η ～ ϵ 降伏曲線は一致し、応力経路に無関係な曲線を実験的に求めたが、その形状は η 軸方向に傾きながら上昇する後、やや下がる形である。さらに Nova ら³⁾も、 p' ～ η 降伏曲線と η ～ ϵ 降伏曲線は一致するとし、横円形に類似な降伏曲線を示している。このような従来の理論と本実験を論じるのは、明らかに無理である。そこで筆者らは、この実験結果を説明するための一つの解釈として、次のような考え方を用いた。(a) 土の降伏特性は、 p' ～ η 関係、 η ～ ϵ 関係で異なり、前者の降伏曲線は横円形で、後者の降伏曲線は p' 軸方向へ開いた曲線で表される。(b) 土の降伏特性は、降伏に至るまでの応力履歴、特に過圧密比の影響を受ける。過圧密比が大きくなると、 p' ～ η 降伏曲面は p' 軸方向に収縮し、 η 軸方向に膨張する。一方、 η ～ ϵ 降伏曲面は、 η 軸方向へのせん断ひずみ

上述の解釈のは、Fig.1, Fig.2 の実験結果から、すなわち次のようないくつかの実験事実から示唆された。すなわち、等方

正規圧密後、除荷し再び載荷すると、 σ'_1 へ曲線は、ヒステリシスループを描くが、これにより降伏応力 σ'_y は小さくなる。この傾向は、除荷過程が長いほど、すなむち過圧密比が大きくなるほど顕著となる。さらに、過圧密比が大きくなると、破壊時および降伏時の応力値 σ_y は、大きくなる傾向にある。Fig.1の場合、 ϵ_1 一定の曲線④は、最も大きな過圧密比を有するため、過圧密比の小さな σ'_1 -一定(2.7~1)、 p'_1 -一定(2~1)よりは、 p'_1 軸方向に収縮し、 σ'_1 軸方向に膨張している。 σ'_1 -一定と p'_1 -一定の同一過圧密比の降伏点をつらぬき降伏曲線④、⑤、⑥、⑦についても同様な傾向が認められる。 ϵ_1 一定の降伏曲面の過圧密比の値は、40となるが、これより大きな過圧密比となるても更には σ'_1 が未満の除荷をさらに進行するにすぎず、この過圧密比40の曲線①に収束してゆくものと思われる。また、降伏曲線の形状は、ほぼ横円形とみなしてもよし、Roscoe らの理論¹⁾と一致する。Fig.2の場合、降伏応力 σ_y は過圧密比の増加とともに大きいになっている。先と同様に、 σ'_1 -一定、 p'_1 -一定の同一過圧密比の点をつらぬき線分④、⑤、⑥、⑦についても同様な傾向が認められる。図中の曲線④は、正規圧密後、直ちに σ'_1 -一定せん断試験を行ない、 σ'_1 へ初期せん断段階ひ、その接線勾配が明らかに一定とみられる弾性領域の最大応力点(σ'_y , ϵ_y)をプロットしたもので、これが過圧密比1のときの降伏曲線と差えられる。

先に述べた理由により、 ϵ_1 一定、過圧密比40の曲線①と上限の降伏曲線とし、過圧密比1の降伏曲線④と下限の降伏曲線とすれば、過圧密比が大きくなるにつれて、降伏曲線は、降伏曲線④より除々に上がり、最終的に①へ差するものと考えられる。また、その形状は p'_1 軸方向に開いた曲線となる。以上述べた傾向は、Ko圧密へせん断試験結果についても認められた。しかし、この場合にはKo圧密過程で、 σ'_1 軸方向の応力履歴を与えられたため、降伏曲線は σ'_1 へ、 σ'_1 へ降伏曲線共に p'_1 軸方向に上がる。この異方圧密へせん断試験結果については、別り機会に詳しく触れる。

3. あとがき 粗粒材料の三軸圧縮試験結果を基に、土の降伏特性について述べてきたが、従来の理論ではその実験結果はうまく説明されないため、一つの解釈として次のような考え方に基づいて土の降伏特性を論じた。

1) σ'_1 へ降伏曲線は、Roscoe らの理論と同様、ほぼ横円形となる。しかし、 σ'_1 へ降伏曲面は、 p'_1 軸方向に開く曲線となり、Roscoe らの理論と異なる。

2) 土の降伏特性は、降伏に至るまでの応力履歴、特に過圧密比の影響を受ける。過圧密比が大きくなるほど、 σ'_1 へ降伏曲線は p'_1 軸方向に収縮し、 σ'_1 軸方向に膨張する。一方 σ'_1 へ降伏曲線は、過圧密比が大きくなるほど σ'_1 軸方向に膨張する。今後の詳細な実験によって、上記の解釈の妥当性を確かめていきたい。

(1). Roscoe & Burland: "On The Generalized Stress-strain Behaviour of 'Wet' Clay" Engineering Plasticity, Cambridge University Press, P.P. 525~609 (1968)

(2). 三浦哲郎・山本紀之:「ヨコツル材料の応力・ひずみ特性に関する考察」, 山口大学工学部研究報告 Vol. 30, NO. 2 (1980)

(3). F.Tatsuoka & K. Imaiura: "Yielding of Sand In Triaxial Compression", Soils & Foundations Vol. 14, NO. 2 (1974)

(4). R. Nova & D.M. Wood : "An Experimental Programme To Define The Yield Function For Sand", Soils & Foundations Vol. 18, NO. 4 (1978)

(5). 横原義志:「粗粒材の降伏特性について」, 山口大学工学部卒業研究, 昭55. 3

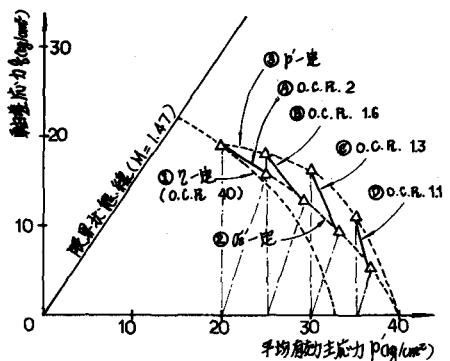


FIG. 1 p'_1 ~ σ'_1 降伏曲線

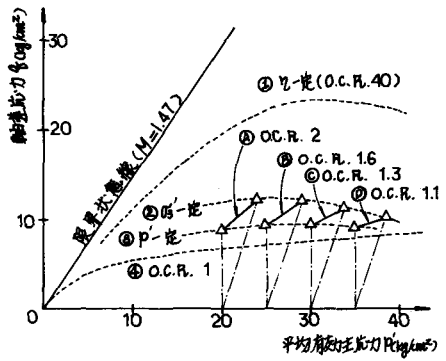


FIG. 2 σ'_1 ~ σ'_1 降伏曲線